

- Non si possono consultare libri, note, ed ogni altro materiale o persone durante l'esame ad eccezione delle funzioni Matlab fornite.
- Risolvere i seguenti esercizi con l'ausilio di Matlab.
- La durata del compito è di 90 minuti.
- Questo esame ha 3 domande, per un totale di 30/30 punti.
- Svolgere gli esercizi su fogli protocollo, indicando: nome, cognome, codice persona e data
- Per ciascun esercizio consegnare su webeep un file nominato, ad esempio, "esercizio1.m" con il codice Matlab sviluppato.
- Per utilizzare le funzioni Matlab sviluppate durante il corso e fornite per l'esame, è necessario aggiungere la cartella con il comando `addpath functions2023`.

Esercizio 1 (punti 10)

Si consideri la seguente funzione

$$f(x) = x \sin(x) \quad \text{per } x \in [-1, 1]$$

- (a) (1 punto) [M] Si rappresenti f in Matlab e si identifichi il valore α tale per cui $f(\alpha) = 0$.

Soluzione. Ecco un possibile script per rappresentare f

```
clear all
close all
clc

addpath functions2023

%% a)

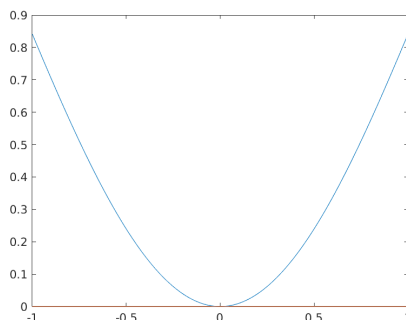
f = @(x) x.*sin(x);

a = -1;
b = 1;
x_val = linspace(a, b, 1000);
plot(x_val, f(x_val))
hold on
```

```
plot(x_val, 0*x_val)
hold off

saveas(gcf, "es1_sol_a.png")
```

Il cui grafico è il seguente



Possiamo notare che lo zero α della funzione f è situato in 0.

- (b) (3 punti) [T] Derivare il metodo di Newton per la ricerca degli zeri di una funzione, riportando anche le sue proprietà di convergenza.

Soluzione. Dato, all'iterazione k , un valore di tentativo per lo zero esatto x^k , la retta tangente a f in x^k è data da

$$\frac{f(x) - f(x^k)}{x - x^k} = f'(x^k) \quad \Rightarrow \quad f(x) = f(x^k) + f'(x^k)(x - x^k).$$

Quindi dato x^k , il punto x^{k+1} è trovato come punto di intersezione della retta tangente con l'asse x ovvero lo zero della retta tangente approssimante f . Abbiamo che

$$f(x^{k+1}) = f(x^k) + f'(x^k)(x^{k+1} - x^k) = 0 \quad \Rightarrow \quad x^{k+1} = x^k - \frac{f(x^k)}{f'(x^k)}$$

Per la convergenza ci basiamo sul seguente risultato

Teorema 1. Sia $f : [a, b] \rightarrow \mathbb{R}$ una funzione di classe C^2 in $[a, b]$. Sia α tale che $f(\alpha) = 0$ e $f'(\alpha) \neq 0$, ovvero di molteplicità algebrica pari a 1. Allora esiste $\eta > 0$ tale che se scelgo x^0 in modo che $|x^0 - \alpha| < \eta$ allora si ha

$$\forall k \in \mathbb{N} \quad |x^k - \alpha| < \eta,$$

inoltre il metodo risulta convergente, ovvero

$$\lim_{k \rightarrow \infty} x^k = \alpha,$$

infine il metodo di Newton ha una convergenza quadratica, abbiamo

$$\lim_{k \rightarrow \infty} \frac{x^{k+1} - \alpha}{(x^k - \alpha)^2} = C = \frac{f''(\alpha)}{2f'(\alpha)}.$$

- (c) (2 punti) [M] Applicare il metodo di Newton per il calcolo di α , partire da un valore iniziale pari a $x_0 = 0.5$ e impostare una tolleranza pari a 10^{-8} . Rappresentare in scala semilogy l'errore ottenuto e commentare alla luce della teoria.

Soluzione. Ecco un possibile script per il calcolo dello zero

```
%% b)

x0 = 0.5;
tol = 1e-8;
nmax = 1000;

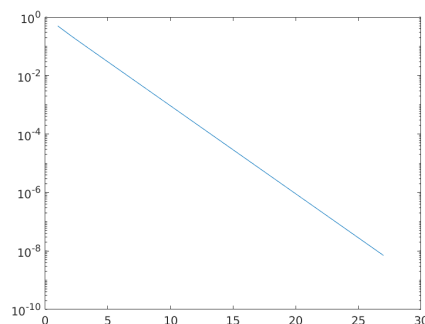
df = @(x) sin(x) + x*cos(x);

[xvect,it] = newton(x0,nmax,tol,f,df);

figure(1)
semilogy(abs(xvect))

saveas(gcf, "es1_sol_c.png")
```

Il metodo si arresta dopo 26 iterazione e il valore finale calcolato è dato da 0.0000000070302. Assumendo $\alpha = 0$ la soluzione esatta, allora l'errore calcolato è rappresentato dal seguente grafico



Possiamo notare l'andamento lineare che indica una convergenza di tipo lineare.

- (d) (2 punti) [T] Si proponga una modifica al metodo di Newton per il calcolo degli zeri a molteplicità algebrica maggiore di 1.

Soluzione. Introducendo m come molteplicità algebrica dello zero α , possiamo quindi presentare il metodo di Newton modificato come

$$x^{k+1} = x^k - m \frac{f(x^k)}{f'(x^k)}$$

Se tale metodo converge allora converge quadraticamente, come nel caso del metodo di Newton la convergenza è solo locale, cioè per un x^0 sufficientemente vicino al valore di α .

- (e) (2 punti) [M] Si estenda opportunamente la function `newton.m` in modo da implementare quanto proposto al punto precedente. Utilizzando questa nuova funzione ripetere quanto fatto al punto c, sovrapponendo gli errori sullo stesso grafico. Commentare i risultati ottenuti.

Soluzione. La function `newtonmod.m` che implementa il metodo di Newton modificato è la seguente

```
function [xvect,it] = newtmod(x0,nmax,toll,fun,dfun,
    mol)
%
% [xvect,it] = newtmod(x0,nmax,toll,fun,dfun,mol)
%
% Metodo di Newton modificato per la ricerca degli
% zeri
% della funzione fun. Test d'arresto basato sul
% controllo
% della differenza tra due iterate successive.
%
% Parametri di ingresso:
%
% x0          Punto di partenza
% nmax        Numero massimo di iterazioni
% toll        Tolleranza sul test d'arresto
% fun dfun    Function handle contenenti la funzione e
%             la sua derivata
% mol         Molteplicità dello zero cercato
%
% Parametri di uscita:
%
% xvect       Vett. contenente tutte le iterate
%             calcolate
%             (l'ultima componente è la soluzione)
```

```
% it          Iterazioni effettuate

err = toll+1;
it = 0;
xvect = [x0];

while (it< nmax && err>= toll)
    xv = xvect(end);
    if abs(dfun(xv)) < eps % epsilon macchina - errore
        macchina
        disp(' Arresto per azzeramento di dfun');
        it = it + 1;
        break
    else
        xn = xv - mol * fun(xv) / dfun(xv);
        err = abs(xn - xv);
        xvect = [xvect; xn];
        it = it + 1;
    end
end

fprintf(' \n Numero di Iterazioni : %d \n',it);
fprintf(' Zero calcolato           : % -12.13f \n',xvect(
    end));

return
```

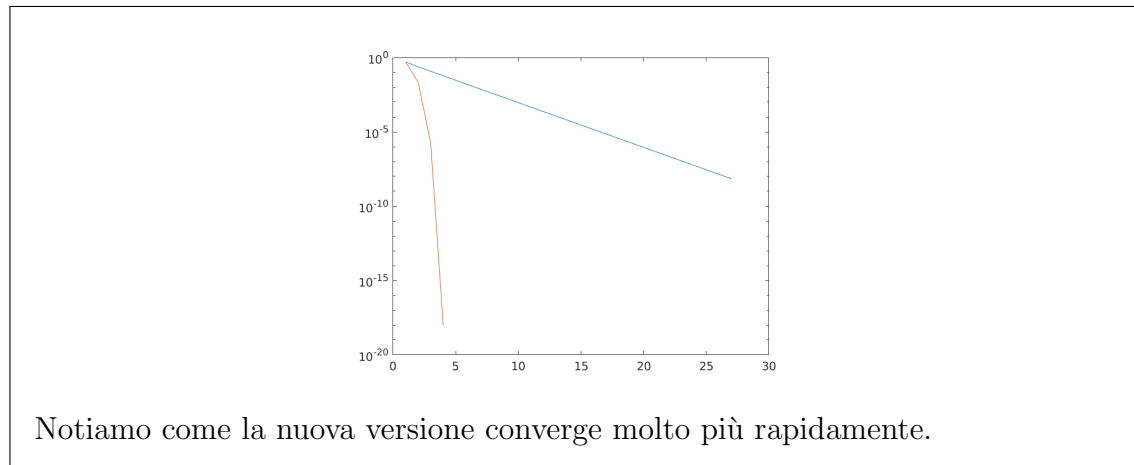
Possiamo quindi calcolare lo zero con la nuova funzione nel seguente modo

```
%% c)
mol = 2;
[xvect_mod,it_mod] = newtmod(x0,nmax,tol,f,df,mol);

hold on
semilogy(abs(xvect_mod))

saveas(gcf, "es1_sol_e.png")
```

Il metodo si arresta dopo 4 iterazione e il valore finale calcolato è 0. L'andamento dell'errore è ora dato dal seguente grafico



Esercizio 2 (punti 10)

Si consideri la seguente matrice

$$A = \begin{bmatrix} 1 & 1 & 1 & 1 & 1 \\ 1 & 2 & 3 & 4 & 5 \\ 1 & 3 & 6 & 10 & 15 \\ 1 & 4 & 10 & 20 & 35 \\ 1 & 5 & 15 & 35 & 70 \end{bmatrix}$$

che si può costruire con il comando Matlab `pascal(n)` dove n è la dimensione della matrice.

- (a) (3 punti) [M+T] Enunciare la condizione necessaria e sufficiente per l'esistenza e unicità della fattorizzazione LU e verificare (con opportuni comandi) che è soddisfatta per la matrice A di dimensione $n = 5$.

Soluzione. Data una matrice $A \in \mathbb{R}^{n \times n}$ non singolare la fattorizzazione LU esiste ed è unica se e solo se tutte le sotto-matrici principali A_i di ordine $i = 1 \dots n - 1$ sono non singolari. Possiamo calcolare il determinante delle sottomatrici con il seguente ciclo:

```
close all
clear all
clc
addpath functions2023
```

```
%% a)
```

```
n=5;
```

```
A=pascal(n);
```

```
for i=1:n
```

```
    D(i)=det(A(1:i,1:i));
```

```
end
```

```
if (all(D~=0))
```

```
    disp('la fattorizzazione LU (senza pivoting)
        esiste')
```

```
end
```

Chiedendo che tutti i valori salvati nel vettore D siano diversi da zero verifichiamo che tutte le sotto-matrici principali e la matrice A stessa siano non-singolari (condizione verificata).

- (b) (3 punti) [M] Data la soluzione esatta $\mathbf{x} = [1, 1 \dots, 1]^T$ costruire il termine noto \mathbf{b} e risolvere il sistema lineare $A\mathbf{x} = \mathbf{b}$ utilizzando i) la fattorizzazione LU ii) i metodi di sostituzione in avanti e all'indietro implementati nelle funzioni fornire. Verificare se è stato effettuato il pivoting.

Soluzione. Definita la soluzione esatta il termine noto si calcola come $\mathbf{b} = A\mathbf{x}$:

```
%% b)

x=ones(n,1);
b=A*x;
[L,U,P]=lu(A);
if any(any(P-eye(n)))
    disp('il pivoting e stato effettuato')
end
y=fwsb(L,P*b);
xn=bksb(U,y)
```

Ottenendo i seguenti risultati

la fattorizzazione LU (senza pivoting) esiste
il pivoting e stato effettuato

xn =

1
1
1
1
1

In cui abbiamo effettuato la fattorizzazione chiedendo in output la matrice di permutazione; confrontandola con la matrice identità si può dedurre che il pivoting, anche se non necessario, è stato effettuato. Infine, abbiamo risolto i problemi triangolari, ottenendo la soluzione numerica \mathbf{x}_n . In questo caso la soluzione numerica è identica alla soluzione esatta.

- (c) (4 punti) [M+T] Ripetere i passaggi al punto precedente per matrici di dimensione $n = 10, 15$ e 20 . Per ognuno dei casi calcolare la norma dell'errore *relativo* e il condizionamento della matrice e rappresentarli su due grafici in scala logaritmica. Commentare i risultati alla luce della teoria.

Soluzione. Ripetiamo i passi precedenti per diversi valori di n :

```
%% c)

N=[10 15 20];
err=[];
K=[];

for n=N
    A=pascal(n);
```



```

x=ones(n,1);
b=A*x;
[L,U,P]=lu(A);
y=fwsb(L,P*b);
xn=bksb(U,y);
err=[err norm(x-xn)/norm(x)];
K=[K cond(A)];
end
err
K
subplot(2,1,1)
loglog(N,err,'bo-')
grid on
xlabel('N')
ylabel('err')
subplot(2,1,2)
loglog(N,K,'bo-')
grid on
xlabel('N')
ylabel('cond')
saveas(gcf, "es2_sol_c.png")

```

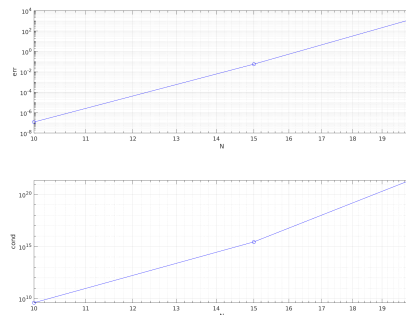
Ottenendo i seguenti risultati

```

err =
    1.0e+03 *
    0.0000    0.0001    1.2977
K =
    1.0e+21 *
    0.0000    0.0000    2.2465

```

Ed il seguente grafico



Dal grafico ottenuto osserviamo che per matrici di dimensioni maggiori l'errore cresce fino a superare il 100% e questo si spiega con l'aumento del numero di

condizionamento della matrice $K(A) > 10^{20}$. Non è quindi garantito che gli errori di arrotondamento commessi durante la fattorizzazione e il calcolo della soluzione vengono tenuti bassi, infatti in questo caso sono amplificati inquinando la soluzione numerica.

Esercizio 3 (punti 10)

Si consideri il seguente problema già affrontato nella parte 1 dell'esame

$$\begin{cases} \partial_t u - \partial_{xx} u = 1 & 0 < x < \pi, t > 0 \\ u(t, 0) = u(t, \pi) = 0 & t > 0 \\ u(0, x) = 0 & 0 < x < \pi. \end{cases}$$

- (a) (5 punti) [T] Introdurre brevemente l'approssimazione del problema con il metodo degli elementi finiti in spazio, e un generico theta-metodo in tempo. Derivare l'espressione matriciale (senza dettagliare i singoli elementi delle matrici).

Soluzione. Consideriamo lo spazio funzionale $V = H_0^1(\Omega)$ e prendiamo delle funzioni test $v \in V$ che sono indipendenti da t ; la forma debole del problema definita dall'equazione del calore è data da: trovare, per ogni $t \in (0, T)$, $u(x, t) \in V$ tale che

$$\int_a^b \partial_t u v dx + \int_a^b \partial_x u \partial_x v dx = \int_a^b v dx \quad \forall v \in V.$$

dove $a = 0$ e $b = \pi$. La formulazione discreta del problema è derivata fissando il tempo ed operando prima in spazio. Scegliendo $V_h \subset V$ sotto-spazio finito dimensionale otteniamo che la semi-discretizzazione in spazio è: trovare, per ogni $t \in (0, T)$, $u_h(t) \in V_h$ tale che

$$\int_a^b \partial_t u_h v_h dx + \int_a^b \partial_x u_h \partial_x v_h dx = \int_a^b v_h dx \quad \forall v_h \in V_h.$$

Introduciamo ora le forme a e m e il funzionale F definiti come

$$a(u_h, v_h) = \int_a^b \partial_x u_h \partial_x v_h \quad \text{e} \quad m(u_h, v_h) = \int_a^b u_h v_h \quad \text{e} \quad F(v_h) = \int_a^b v_h dx$$

il precedente problema può quindi essere scritto come:

$$m(\partial_t u_h(t), v_h) + a(u_h, v_h) = F(v_h) \quad \forall v_h \in V_h.$$

Anche in questo caso consideriamo una base $\{\phi_j\}$ per V_h di funzioni linearmente indipendenti, consideriamo lo sviluppo di v_h e u_h sulla base $\{\phi_j\}$ di V_h otteniamo

$$v_h(x) = \sum_{i=1}^{N_h} \alpha_i \phi_i(x) \quad \text{e} \quad u_h(x, t) = \sum_{j=1}^{N_h} u_j(t) \phi_j(x)$$

Sfruttando la bi-linearità della forma a , il fatto che il dominio non dipende dal tempo e la linearità del funzionale F otteniamo la seguente espressione

$$\begin{aligned} \partial_t m \left(\sum_{j=1}^{N_h} u_j(t) \phi_j, \phi_i \right) + a \left(\sum_{j=1}^{N_h} u_j(t) \phi_j, \phi_i \right) &= F(\phi_i) \quad \forall i = 1, \dots, N_h \\ \sum_{j=1}^{N_h} \partial_t u_j(t) m(\phi_j, \phi_i) + \sum_{j=1}^{N_h} u_j(t) a(\phi_j, \phi_i) &= F(\phi_i) \quad \forall i = 1, \dots, N_h, \end{aligned}$$

introduciamo la matrice di rigidezza A e di massa M date rispettivamente da

$$\begin{aligned} A &\in \mathbb{R}^{N_h \times N_h} : & a_{ij} &= a(\phi_j, \phi_i) \\ M &\in \mathbb{R}^{N_h \times N_h} : & m_{ij} &= m(\phi_j, \phi_i) \end{aligned}$$

Il problema semi-discreto risulta quindi di determinare il vettore tempo dipendente $\mathbf{u}(t)$ tale che

$$M d_t \mathbf{u}(t) + A \mathbf{u}(t) = \mathbf{f}.$$

- (b) (3 punti) [M] Si consideri una griglia di ampiezza uniforme $h = \frac{\pi}{20}$. Si risolva il problema con il metodo di Eulero Esplicito, usando un passo temporale $\Delta t = 0.25$, quindi si ripeta il calcolo con $\Delta t = 0.0025$. Si utilizzi la function `heatsolve` fornita. Si rappresentino le soluzioni utilizzando la function `xtplot` fornite e si commenti il risultato alla luce della teoria.

Soluzione. Definiamo innanzitutto i dati del problema e della discretizzazione spaziale:

```
f=@(x,t) 1+x*0;  
u0=@(x) 0*x;  
L=pi;  
T=10;  
D=1;  
N=20;  
h=L/N;
```

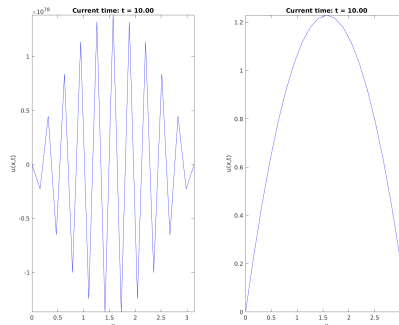
Quindi scegliamo $\theta = 0$ (Eulero Esplicito) e risolviamo usando il primo Δt richiesto:

```
%% a)  
%soluzione con Eulero implicito  
theta=0;  
%primo passo temporale  
dt=.25;  
[x, t, u_EE] = heatsolve(D, f, L, h, u0, T, dt, theta)  
;  
figure(1)  
subplot(1,2,1)  
xtplot(x,t,u_EE,'animation')  
  
%secondo passo temporale  
dt=.0025;
```

```
[x, t, u_EE] = heatsolve(D, f, L, h, u0, T, dt, theta)
;
subplot(1,2,2)
xtplot(x,t,u_EE,'animation')

saveas(gcf, "es3_sol_b.png")
```

Il cui grafico è il seguente



Notiamo che per $\Delta t = 0.25$ la soluzione risulta instabile e presenta oscillazione, mentre riducendolo a $\Delta t = 0.0025$ tale fenomeno non accade.

- (c) (2 punti) [M] Si risolva ora il problema con il metodo di Eulero Implicito, scegliendo $\Delta t = 0.25$. Si rappresenti il valore della soluzione numerica al centro del dominio, in tempo: $u_h(t, \frac{\pi}{2})$ (da estrarre con un metodo a scelta). Cosa si osserva?

Soluzione. Scegliamo $\theta = 1$ (Eulero Implicito) e risolviamo usando il primo Δt richiesto:

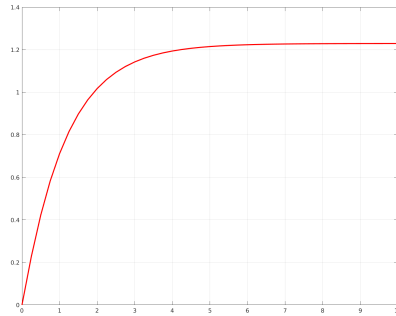
```
%% b)
%soluzione con Eulero implicito
dt=0.25;
theta=1;
[x, t, u_EI] = heatsolve(D, f, L, h, u0, T, dt, theta)
;
figure(2)
plot(t, u_EI(N/2+1,:), 'linewidth',2,'color','r')
grid on
saveas(gcf, "es3_sol_c1.png")

%metodo alternativo
u_middle=interp1(x,u_EI,pi/2)
figure(3)
plot(t, u_middle, 'linewidth',2,'color','r')
```

```
grid on
```

```
saveas(gcf, "es3_sol_c2.png")
```

Il grafico che otteniamo per la soluzione al centro dell'intervallo è il seguente



Notiamo che la soluzione non presenta oscillazioni anche se il $\Delta t = 0.25$ nel caso di Eulero Esplicito non funzionava. Inoltre, possiamo notare che la soluzione tende ad uno stato stazionario con l'avanzare del tempo. La soluzione analitica stazionaria è infatti data da $u(x) = \frac{1}{2}x(\pi - x)$.